

# ДИНАМИКА ГОРИЗОНТА ПРИ СТОЛКНОВЕНИИ УЛЬТРАРЕЛЯТИВИСТСКИХ ЧАСТИЦ В МНОГОМЕРНОМ ПРОСТРАНСТВЕ

О. И. Василенко

*Физический факультет МГУ*

E-mail: vasilenko@depni.sinp.msu.ru

В последнее время проявляется значительный интерес к процессам образования черных дыр при столкновениях ультраквантитативистских частиц. Новый интерес к проблеме возник после предложения разрешения проблемы иерархии, основанного на введении дополнительных измерений, больших по сравнению с характерным размером слабого взаимодействия. В этом случае величина массы Планка может составить несколько ТэВ, что позволило бы обнаружить связанные с существованием дополнительных измерений эффекты в экспериментах с космическими лучами и астрофизических наблюдениях [1].

Рассмотрим две ультраквантитативистские частицы, движущиеся в пространстве Минковского с координатами  $(\bar{t}, \bar{z}, \bar{x}^i)$  вдоль оси  $\bar{z}$  навстречу друг другу с нулевым прицельным параметром ( $\bar{x}^i = 0$ ). Введем координаты светового конуса:  $\bar{u} = \bar{t} - \bar{z}, \bar{v} = \bar{t} + \bar{z}$ . В предельном ультраквантитативистском случае для частицы с исчезающей малой массой и фиксированной энергией  $\mu$ , движущейся в направлении  $+z$ , метрика описывается решением для ударной волны Айчельбурга-Сексла

$$ds^2 = -d\bar{u}d\bar{v} + d\bar{x}^{i2} + \Phi(\bar{x}^i)\delta(\bar{u})d\bar{u}^2. \quad (1)$$

Функция  $\Phi$  зависит только от поперечного радиуса  $\bar{r} = \sqrt{\bar{x}^i \bar{x}_i}$  и имеет вид

$$\Phi = -2a \ln(\bar{r}) \text{ при } D = 4; \quad \Phi = \frac{2a^{D-3}}{(D-4)\bar{r}^{D-4}} \text{ при } D > 4, \quad a = \left( \frac{8\pi G_D \mu}{\Omega_{D-3}} \right)^{1/(D-3)}, \quad (2)$$

где  $\Omega_{D-3}$  — объем единичной  $(D-3)$ -мерной сферы и  $G_D$  —  $D$ -мерная гравитационная постоянная. Сингулярность в метрике (1) можно устранить введением новых координат  $(u, v, x^i)$

$$\bar{u} = u, \quad \bar{v} = v + \Phi \theta(u) + \frac{u \theta(u) (\nabla \Phi)^2}{4}, \quad \bar{x}^i = x^i + \frac{u}{2} \nabla^i \Phi(x) \theta(u). \quad (3)$$

В этих координатах геодезические и их касательные непрерывны на фронте волны при  $u = 0$ . Метрика (1) является плоской везде, кроме фронта волны при  $u = 0$ . Поэтому метрику для двух ударных волн для моментов времени  $\bar{t} < 0$ , предшествующих столкновению, можно получить, объединив (1) с аналогичной метрикой для частицы, движущейся вдоль  $\bar{v} = 0$  в направлении  $-z$ , и отождествив области между волнами. В координатах (3) объединенная метрика имеет вид

$$ds^2 = -du dv + \left( H_{ik}^u H_{jk}^u + H_{ik}^v H_{jk}^v - \delta_{ij} \right) dx^i dx^j, \quad (4)$$

$$H_{ij}^u = \delta_{ij} + \frac{1}{2} \frac{\partial^2 \Phi(x)}{\partial x^i \partial x^j} u \theta(u), \quad H_{ij}^v = \delta_{ij} + \frac{1}{2} \frac{\partial^2 \Phi(x)}{\partial x^i \partial x^j} v \theta(v). \quad (5)$$

Критерием образования черной дыры при столкновении частиц служит появление области пространства, которую не могут покинуть световые лучи. Границей этой области и является ловушечная поверхность [2,3]. Более строгое определение следующее: ловушечная поверхность  $T$  это замкнутая пространственноподобная  $(D-2)$ -поверхность, такая что световые геодезические, пересекающие ее ортогонально, локально сходятся в направлении будущего. Из определения следует, что объем перенесенной  $(D-2)$ -поверхности, образованной точками ортогональных к  $T$  нулевых геодезических, расположенными на равных расстояниях от  $T$ , должен уменьшаться при удалении от  $T$ .

Далее мы будем использовать следующее сечение пространства-времени: область  $I - (t = z, t \leq T)$ ; область  $II - (t = T, T \leq z \leq -T)$ ; область  $III - (t = -z, t \leq T)$ . Здесь  $T \leq 0$  и столкновение частиц происходит при  $(T = 0, z = 0)$ .

Согласно выбранному сечению ловушечную поверхности  $M$  в области  $II$  можно определить соотношениями:  $t = T = const, z = \delta f(r), \delta = \operatorname{sgn} z$ . Нулевые нормали  $N$  к этой поверхности имеют вид ( $f' = df/dr, \varepsilon = \pm 1$ )

$$N(\varepsilon, \delta) = \left[ N^t, N^z, N^r, \overrightarrow{N^\phi} \right] (\varepsilon, \delta) = \left[ 1, -\frac{\varepsilon \delta}{\sqrt{1+f'^2}}, \frac{\varepsilon f'}{\sqrt{1+f'^2}}, \vec{0} \right]. \quad (6)$$

Нулевая геодезическая, нормально пересекающая ловушечную поверхности в точке  $(T, z_0 = f(r_0) \equiv f_0, r_0, \vec{\phi}_0)$ , является прямой линией, описываемой уравнениями

$$t = T + \tau, \quad z = \delta f_0 - \tau \frac{\varepsilon \delta}{\sqrt{1+f'_0}}, \quad r = r_0 + \tau \frac{\varepsilon f'_0}{\sqrt{1+f'^2}}, \quad \vec{\phi} = \vec{\phi}_0. \quad (7)$$

Подобные геодезические переносят ловушечную поверхность  $M$  на расстояние  $\tau$ . Обозначим перенесенную поверхность через  $M(\varepsilon, \tau)$ . Ее объем  $S(\varepsilon, \tau)$  равен

$$S(\varepsilon, \tau) = \Omega_{D-3} \int r^{D-3} dl, \quad (8)$$

где  $dl$  — элемент образующей поверхности  $M(\varepsilon, \tau)$  в плоскости  $(z, r)$ , который согласно (7) может быть выражен через не зависящий от  $\tau$  элемент  $dr_0$  как

$$dl = \sqrt{dr^2 + dz^2} = \sqrt{\left( \frac{dr}{dr_0} \right)^2 + \left( \frac{dz}{dr_0} \right)^2} dr_0 = \sqrt{1+f'^2_0} \left[ 1 + \frac{\tau \varepsilon f''_0}{(1+f'^2_0)^{3/2}} \right] dr_0. \quad (9)$$

Для малых  $\tau$  выражение (8) может быть записано в форме

$$S(\varepsilon, \tau) = \Omega_{D-3} \int r_0^{D-3} \sqrt{1+f'^2_0} \left\{ 1 + \frac{\tau \varepsilon}{\sqrt{1+f'^2_0}} \left[ \frac{(D-3)f'_0}{r_0} + \frac{f''_0}{1+f'^2_0} \right] + O(\tau^2) \right\} dr_0. \quad (10)$$

Согласно определению ловушечной поверхности уравнение для функции  $f(r)$  можно получить из требования, чтобы для малых  $\tau$  объем  $S(\varepsilon, \tau)$  уменьшался при увеличении  $\tau$  для обоих значений  $\varepsilon = \pm 1$ . Необходимым условием этого является равенство нулю линейного по  $\tau$  члена в правой части соотношения (10). Интегрирование получающегося уравнения дает явную форму соотношения, описывающего внутреннюю ловушечную поверхность

$$z = \delta R \int_1^{r/R} \frac{d\rho}{\sqrt{\rho^{2(D-3)} - 1}}, \quad (11)$$

где  $R = R(T)$  — радиус поверхности при  $z = 0$ . В случае  $D = 4$  поверхность представляет собой катеноид:  $r = R \cosh(z/R)$ .

С точки зрения наблюдателя во внешних областях ( $|z| > -t$ ) столкновение происходит при

$$\bar{u} = +0, \quad \bar{v} = +0. \quad (12)$$

Поскольку метрика в этих областях минковская и задача аксиально симметрична, то нулевые геодезические ортогональные плоскости (12) являются параллельными прямыми, имеющими нулевое схождение. Таким образом, плоскость (12) удовлетворяет условиям, предъявляемым к ловушечной поверхности, и уравнения (12) можно рассматривать, как соотношения, определяющие ее вид на фронтах, т.е. в областях I и III. В новых координатах  $(u, v, r, \phi^k)$  уравнения ловушечной поверхности в области I с нулевыми нормалями  $n = [n^u, n^v, n^r, \vec{n}^\phi]$  согласно (3),(12) принимает вид

$$u = +0, \quad v + \Phi(r) - \Phi(r_c) = 0, \quad (13)$$

$$n_1 = [0, 1, 0, \vec{0}], \quad n_2 = \left[ \left( \frac{r}{a} \right)^{D-3}, \left( \frac{a}{r} \right)^{D-3}, 1, \vec{0} \right].$$

Аналогично описывается ловушечная поверхность в области III

$$v = +0, \quad u + \Phi(r) - \Phi(r_c) = 0, \quad (14)$$

$$n_3 = [1, 0, 0, \vec{0}], \quad n_4 = \left[ \left( \frac{a}{r} \right)^{D-3}, \left( \frac{r}{a} \right)^{D-3}, 1, \vec{0} \right].$$

Гладкость перехода от (13) к (14) обеспечивается при выполнении в момент столкновения  $u = v = 0$  равенства  $n_2 = n_4$ . Это условие определяет радиус  $r_c$  ловушечной поверхности в момент столкновения  $r_c \equiv r_b(T=0) = a$ . Требуя непрерывности ловушечной поверхности на границе областей I и II и принимая во внимание (13) и (11), получаем уравнения для  $R(T)$  и радиуса ловушечной поверхности на границе  $r_b(T)$

$$T = \frac{1}{2} [\Phi(a) - \Phi(r_b)] = -R \int_1^{r_b/R} \frac{d\rho}{\sqrt{\rho^{2(D-3)} - 1}}. \quad (15)$$

Такие же соотношения получаются при рассмотрении границы областей II и III.

Зависимости  $R$  от  $T$  для  $D = 4, 5, 6, 7, 8, 9, 10$  показаны на рис.1.

Ловушечная поверхность появляется в момент времени  $t = T_{min}$ , когда  $r_b = r_b(T_{min})$ . Далее  $r_b$  увеличивается с ростом  $T$  и достигает своего максимального значения  $a$  к моменту столкновения  $T=0$  (рис.2). Зависимости  $T_{min}$ ,  $R(T_{min})$  и  $r_b(T_{min})$  от  $D$  представлены в таблице.

$D$	$T_{min} / a$	$R_{min} / a$	$r_b(T_{min}) / a$
4	-0.43	0.36	0.65
5	-0.32	0.47	0.76
6	-0.26	0.54	0.81
7	-0.22	0.60	0.85
8	-0.19	0.64	0.87
9	-0.17	0.67	0.89
10	-0.15	0.69	0.90

### Литература

1. S. B.Giddings , arXiv:0709.1107 [hep-ph]; P.Kanti, arXiv:0802.2218 [hep-th].
2. D.M.Eardley and S. B. Giddings, Phys.Rev. D, **66** (2002) 044011
3. О.И.Василенко // Вестник МГУ. Серия 3. Физика. Астрономия. 2004, № 4, С. 42–45; O.I.Vasilenko// Class. Quantum Grav. 25 (2008) 175021

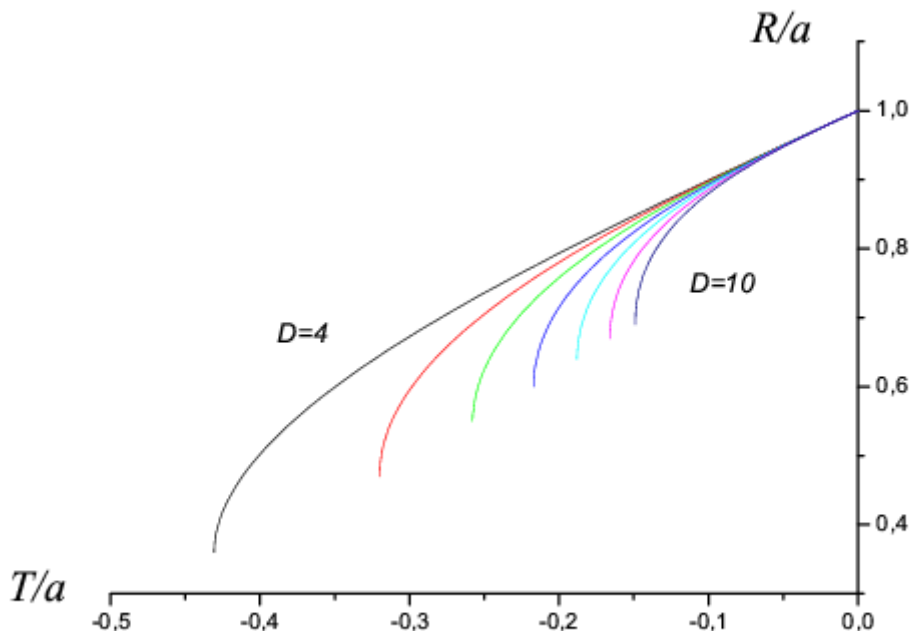


Рис. 1. Зависимости  $R$  от  $T$  для  $D = 4, \dots, 10$ .

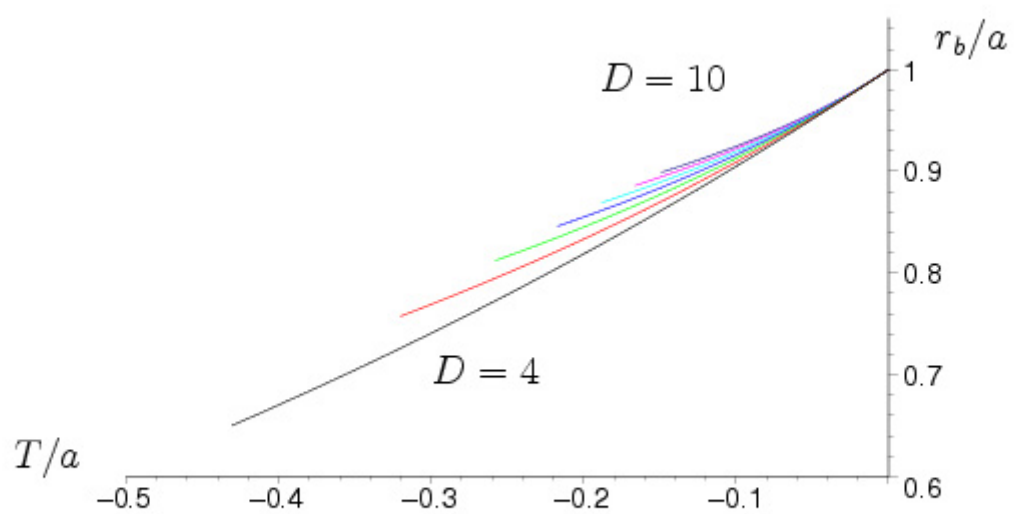


Рис. 2. Зависимости  $r_b$  от  $T$  для  $D = 4, \dots, 10$ .